

УДК 546.289+546.18+546.815

Е. Г. ГОНЧАРОВ, Л. И. СОКОЛОВ, Я. А. УГАЙ

ДИАГРАММА СОСТОЯНИЯ И НЕКОТОРЫЕ ТЕРМОДИНАМИЧЕСКИЕ ПАРАМЕТРЫ СИСТЕМЫ Ge — P

Методом дифференциального-термического анализа построена Т—Х диаграмма состояния системы германий—фосфор. Установлено существование в системе единственного соединения общей формулы GeP , плавящегося инконгруэнтно. Проведен расчет линии ликвидус в области кристаллизации германия; показана близость растворов в этой области к идеальным. Расчетным методом оценено изменение давления в системе вдоль линии трехфазного равновесия (до 50 ат.% фосфора).

Изучение системы Ge—P представляет значительный интерес из-за свойств фосфида германия [1]. Диаграмма состояния этой системы не изучена, по монофосфид германия получен синтезом из элементов [2].

Целью настоящей работы явилось исследование с помощью дифференциального-термического анализа (ДТА) Т—Х проекции диаграммы состояния системы Ge—P и сравнение ее с теоретически рассчитанной.

Приготовление образцов системы Ge—P сопряжено с определенными технологическими трудностями, связанными с практическим отсутствием химического взаимодействия между компонентами в замкнутой системе до достижения плавления фосфора ($593^{\circ}C$, 43 атм). Кроме того, получение компактных и однородных по составу образцов возможно только при нагреве реакционной смеси выше температуры плавления германия, что еще более усложняет условия проведения эксперимента. В связи с этим приготовление образцов и ДТА проводили в сконструированной нами установке (рис. 1), представляющей собой камеру, изготовленную из жаропрочной стали, в которую под определенным давлением вводится инертный газ (азот, аргон). По мере нагрева камеры с реакционными сосудами стенки последних испытывают разности давлений внутри и снаружи ампулы, что позволяет корректированием давления аргона обеспечивать взрыво-

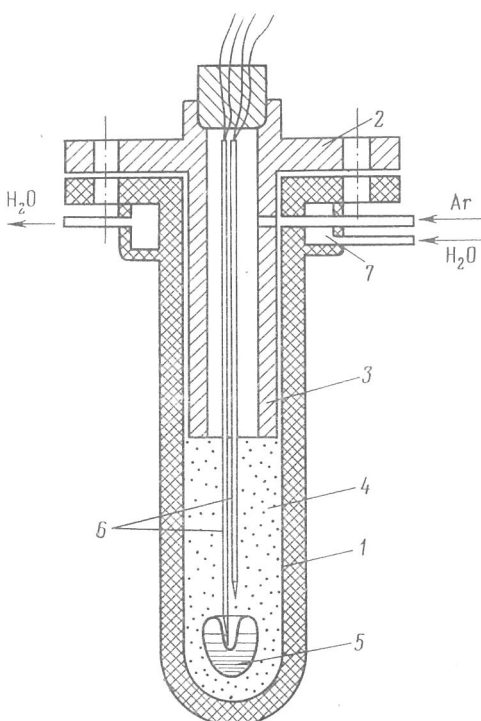


Рис. 1. Камера высокого давления.

1 — камера; 2 — крышка; 3 — медный блок для охлаждения; 4 — уплотняющая засыпка (Al_2O_3); 5 — сосуд Степанова с исследуемым веществом; 6 — термопары; 7 — коллектор водяного охлаждения

безопасность системы. Сплавление проводили в сосудах Степанова, изготовленных из кварцевого стекла толщиной стенок 2,5–3 мм. Навески компонентов помещали в сосуды Степанова с максимально возможным коэффициентом заполнения, что необходимо для уменьшения диссоциации сплавов и, как следствие, отклонения состава от первоначального. Нагрев камеры осуществляли со скоростью 1–2 град/мин; при достижении температуры плавления фосфора проводили изотермическую выдержку в течение 4–5 ч, затем нагрев продолжали и при температуре 960°С расплав гомогенизировали в течение 10–12 ч.

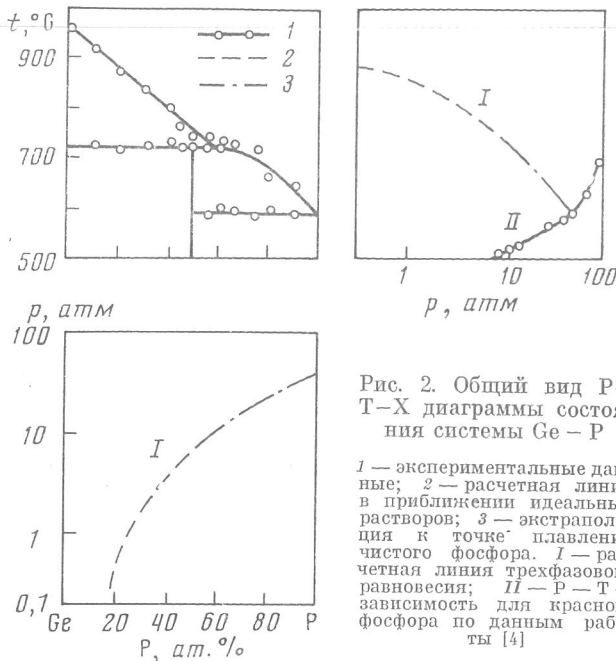


Рис. 2. Общий вид Р–Т–Х диаграммы состояния системы Ge–P

1 — экспериментальные данные; 2 — расчетная линия в приближении идеальных растворов; 3 — экстраполяция к точке плавления чистого фосфора. I — расчетная линия трехфазового равновесия; II — Р–Т – зависимость для красного фосфора по данным работы [4]

По окончании взаимодействия камеру охлаждали вместе с печью, соответственно понижая давление аргона в камере. Приведенная методика позволила получить в виде компактных слитков следующие составы: 10, 20, 30, 40, 45, 50, 55, 60, 65, 75, 80, 90 ат.-% фосфора. Полученные сплавы подвергали гомогенизирующему отжигу в течение 300 ч и затем использовали их для ДТА. Термографирование проводили с помощью пирометра Курнакова типа ФРУ-64. Сосудики Степанова с исследуемым веществом помещали в камеру (рис. 1), полость которой затем плотно набивали прокаленным порошком Al_2O_3 для уменьшения конвекционных потоков аргона. Дифференциальный спай термопары находился на 10–15 мм выше сосуда Степанова. Запись термограмм проводили в интервале температур 400–1000°С. Э.д.с. простой термопары до 400°С компенсировали путем введения противотока, что позволило увеличить чувствительность записи.

Т–Х диаграмму строили только по кривым нагревания, так как анализ кривых охлаждения затруднен из-за склонности расплава со значительным содержанием фосфора к глубокому переохлаждению.

Результаты ДТА представлены на рис. 2. Из приведенной диаграммы следует, что в системе германий–фосфор существует единственное эквивалентное соединение GeP , разлагающееся по перитектической реакции при 725°С. Перитектическая точка соответствует ~63 ат.-% фосфора. Эвтектика со стороны летучего компонента вырождена. Результаты исследования, в основном, подтверждают приведенные в работе [3] наши данные относительно общего вида диаграммы состояния системы Ge–P, полученные косвенным методом путем исследования тройной системы Ge–P–Pb.

Для выяснения состава образующегося в системе соединения проведен химический анализ образца, полученного путем направлении кристаллизации расплава с 63% -ным содержанием фосфора. Анализ проводили по методике [2]. Результаты химического анализа показали, что состав сплава колеблется от 50 до 54 ат. % фосфора, что согласуется с областью гомогенности GeP [2].

Определенный интерес представляло определение природы расплава в области кристаллизации германия. С этой целью по экспериментально найденным точкам кривой ликвидуса определяли концентрационную зависи-

Рис. 3. Концентрационная зависимость энергии смешения

Рис. 4. Ветвь ликвидуса диаграммы состояния системы Ge-P (до 50 ат. % P) в координатах $\lg x - \frac{10^3}{T}$.

1 — экспериментальные данные; 2 — расчетная линия в приближении идеальных растворов; 3 — расчетная линия в приближении регулярных растворов ($W = -100$ кал/моль)

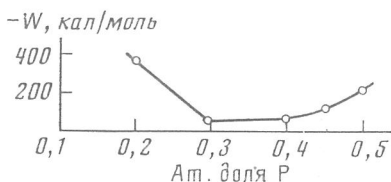


Рис. 3

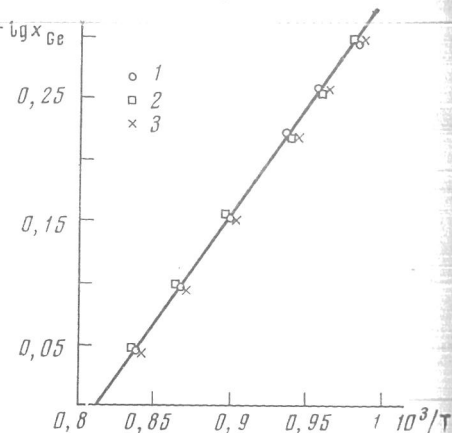


Рис. 4

мость энергии смешения (рис. 3). Расчет проводили по уравнению Ван-Лаара.

$$\lg x_{\text{Ge}} = \frac{\Delta H_{\text{пл}}^{\text{Ge}}}{4,575} \left(\frac{1}{T_{\text{пл}}^{\text{Ge}}} - \frac{1}{T} \right) - \frac{(1-x_{\text{Ge}})^2 W}{4,575 \cdot T} \quad (4)$$

где x_{Ge} — атомная доля германия; $\Delta H_{\text{пл}}^{\text{Ge}}$ — энтальпия плавления германия (8300 кал/моль); $T_{\text{пл}}^{\text{Ge}}$ — температура плавления германия (1231°K).

Из рис. 3 видно, что энергия смешения в концентрационном интервале до 50 ат. % фосфора имеет отрицательный знак и изменяется в пределах от -80 до -377 кал/моль. Последнее свидетельствует о близости данных растворов к идеальным. Для подтверждения этого рассчитывали ветвь ликвидуса диаграммы состояния Ge-P (до 50 ат. % P) по уравнению Шредера. Результаты расчета в координатах $\lg x - \frac{10^3}{T}$ вместе с эксперимен-

тальными данными приведены на рис. 4. Там же показана зависимость $\lg x = f\left(\frac{10^3}{T}\right)$, рассчитанная в приближении регулярных растворов с использованием значения $W = -100$ кал/моль. Совпадение экспериментальных и расчетных данных хорошее.

Выяснение природы растворов фосфора в германии позволило ориентировочно оценить изменение упругости пара фосфора вдоль линии трехфазного равновесия (давлением пара германия пренебрегали, так как оно при 1237°C равно $1 \cdot 10^{-3}$ мм рт. ст. [4]). Расчет проводили по уравнению

$$p_{p_4}^{\gamma_4} = p_{p_4}^0 \cdot x$$

в предположении, что паровая фаза над расплавом GeP состоит из четырехатомных комплексов p_4 (p_4 — давление фосфора над расплавом; $p_{p_4}^0$ — дав-

дение над чистым фосфором при той же температуре; x — атомная доля фосфора в расплаве).

Так как исследуемый температурный интервал находится выше критической температуры фосфора (695°C), то при расчете в качестве стандартного выбрано состояние фосфора в виде перегретой жидкости. С этой целью температурную зависимость давления пара чистого жидкого фосфора [4] экстраполировали до необходимого температурного интервала. Результаты расчета приведены на рис. 2 в виде Р—Х и Р—Т проекций. Для технологических целей получения кристаллов фосфида германия особенно важно знать давление пара над расплавом эквиатомарного состава, которое, по расчетным данным, должно находиться в пределах 7–10 атм. Следует, однако, учитывать, что эта величина может отличаться от значения упругости пара фосфида германия в точке перитектического разложения.

Отрицательный знак величины энергии смешения свидетельствует о некоторой тенденции (хотя и незначительной) к взаимодействию разноименных молекул в расплаве. Интересно некоторое увеличение (по абсолютной величине) энергии смешения в концентрационном интервале 30–50 ат. % фосфора, что может косвенно свидетельствовать об усилении межмолекулярного взаимодействия в расплаве и о возможности образования в системе второго фосфида с большим содержанием летучего компонента. Вместе с тем проведенный нами ДТА не подтвердил существования еще одного соединения в системе. К сожалению, отсутствие данных по энталпии плавления фосфида германия не позволило провести расчет линии ликвидуса до 100 ат. % фосфора. Кроме того, такой расчет затруднен приблизительной оценкой температуры плавления GeP, так как это соединение разлагается, не достигая плавления.

Литература

1. F. Hulliger, E. Mooser. J. Phys. Chem. Sol., 24, 283 (1963).
2. M. Zumbuch, M. Heimbrech, W. Biltz. Z. anorgan. allgem. Chem., 242, 237 (1939).
3. Я. А. Угай, Л. И. Соколов, Е. Г. Гончаров, Ю. П. Афиногенов. Ж. неорган. материалов, 8, 1445 (1973).
4. Аи. Н. Несмеянов. Давление пара химических элементов. М., Изд-во АН ССР, 1961.

Воронежский государственный
университет им. Ленинского комсомола
Кафедра неорганической химии

Поступила в редакцию
25 января 1974 г.